

应用 SD-OCT 纵向比较正常人群和青光眼进展及非进展人群的 RNFL 厚度

关新辉, 李丽, 梁勇

基金项目: 2014 年度新疆维吾尔自治区卫生厅青年科技人才专项科研项目(No. 2014Y10); 2013 年度新疆医科大学科研创新基金项目(No. XJC2013187)

作者单位: (830054) 中国新疆维吾尔自治区乌鲁木齐市, 新疆医科大学第五附属医院眼科

作者简介: 关新辉, 女, 毕业于新疆医科大学, 硕士, 副主任医师, 研究方向: 白内障、青光眼。

通讯作者: 梁勇, 男, 硕士, 眼科主任, 主任医师. iohey@163.com

收稿日期: 2016-04-15 修回日期: 2016-06-30

Longitudinal analysis of retinal nerve fiber layer thickness measurement by spectral-domain optical coherence tomography in normals and in glaucoma patients with or without progression

Xin-Hui Guan, Li Li, Yong Liang

Foundation items: Special Scientific Research Foundation for Young Scientific and Technological Talents of Health and Family Planning Commission of Xinjiang Uygur Autonomous Region(No. 2014Y10); Scientific Research Innovation Foundation of Xinjiang Medical University(No. XJC2013187)

Department of Ophthalmology, the Fifth Affiliated Hospital of Xinjiang Medical University, Urumqi 830054, Xinjiang Uygur Autonomous Region, China

Correspondence to: Yong Liang. Department of Ophthalmology, the Fifth Affiliated Hospital of Xinjiang Medical University, Urumqi 830054, Xinjiang Uygur Autonomous Region, China. iohey@163.com

Received: 2016-04-15 Accepted: 2016-06-30

Abstract

• AIM: To compare the loss of peripapillary retinal nerve fiber layer (RNFL) thickness measurements by spectral-domain optical coherence tomography (SD-OCT) in healthy individuals and glaucoma patients with or without progression.

• METHODS: A total of 60 eyes, comprising 36 glaucomatous eyes with primary open angle glaucoma (POAG) and 24 healthy controls, were included in the study over a 2-year period. All eyes underwent at least 4 serial RNFL measurements performed by Cirrus OCT every half a year over a period of 2a. Visual field (VF) testing was performed by using the Swedish interactive threshold algorithm (SITA) Standard 30-2 program of the Humphrey field analyzer within the same week as the optic disc/RNFL photography. By masked comparative

analysis of VF test results and optic disc/RNFL photographs, the eyes were classified into non-progressive and progressive glaucoma cases. Longitudinal loss of RNFL thickness was compared.

• RESULTS: The mean follow-up time was 2.1 ± 0.3 a. Seventeen from 36 subjects were identified as progressors. Mean rates of change in average RNFL thickness were significantly higher for progressors compared with nonprogressors ($2.46 \mu\text{m/a}$ vs. $1.21 \mu\text{m/a}$; $P < 0.001$). Inferior quadrant RNFL thickness were significantly correlated with MD reduction in glaucoma eyes with progression ($r = 0.423$, $P = 0.03$).

• CONCLUSION: Longitudinal measurements of RNFL thickness using SD-OCT show a pronounced reduction in patients with progression compared with patients without progression. Inferior RNFL thickness parameters might be more important in discriminating eyes with progressive glaucomatous optic nerve damage.

• KEYWORDS: primary open angle glaucoma; progression; optical coherence tomography; retinal nerve fiber layer

Citation: Guan XH, Li L, Liang Y. Longitudinal analysis of retinal nerve fiber layer thickness measurement by spectral-domain optical coherence tomography in normals and in glaucoma patients with or without progression. *Guoji Yanke Zazhi (Int Eye Sci)* 2016;16(8): 1504-1507

摘要

目的: 应用频域光学相干断层扫描(spectral-domain optical coherence tomography, SD-OCT)纵向比较正常人群、青光眼进展及非进展人群的视网膜神经纤维层(retinal nerve fiber layer, RNFL)厚度。

方法: 应用 SD-OCT 对 36 例 POAG 患者和 24 例正常人监测 RNFL 厚度。受试者行视盘 OCT、眼底照相及视野检查, 每 6mo 一次, 随访 2a, 至少有 4 次可信的 OCT 检查结果。根据视野及眼底照相结果将 POAG 患者划分为进展组和非进展组。分析各组 RNFL 厚度变化差异, 同视野参数变化值做相关性分析。

结果: 平均随访 2.1 ± 0.3 a。17 例被确定为 POAG 进展组。POAG 进展组平均 RNFL 厚度损失速率明显高于 POAG 非进展组 ($2.46 \mu\text{m/a}$ vs. $1.21 \mu\text{m/a}$, $P < 0.001$)。下方 RNFL 厚度变化同视野平均偏差(mean deviation, MD)变化相关性最佳 ($r = 0.423$, $P = 0.03$)。

结论: 应用 SD-OCT 纵向监测 RNFL 厚度, POAG 进展者 RNFL 厚度丢失速率明显增高, 下方 RNFL 厚度参数变化可能在监测中意义较大。

关键词:原发性开角型青光眼;进展;光学相干断层扫描;视网膜神经纤维层

DOI:10.3980/j.issn.1672-5123.2016.8.26

引用:关新辉,李丽,梁勇.应用SD-OCT纵向比较正常人群和青光眼进展及非进展人群的RNFL厚度.国际眼科杂志2016;16(8):1504-1507

0 引言

原发性开角型青光眼(primary open angle glaucoma, POAG)是一组具有特征性视神经损害和视野缺损的进行性致盲性眼病。其起病及进展隐匿,视功能损害多不可逆。及时准确的病情监测对POAG患者管理极为重要。许多研究已表明,青光眼视网膜神经纤维层(retinal nerve fiber layer, RNFL)缺损早在视野缺损之前就已出现^[1]。因此,监测RNFL厚度改变有助于早期判断青光眼进展。光学相干断层扫描作为一种非接触性、非侵入性、高分辨率的生物组织结构显像技术,已成为青光眼眼底结构客观定量检测的重要方法^[2-5]。频域光学相干断层扫描(spectral-domain optical coherence tomography, SD-OCT)因其扫描速率快、分辨率高及眼球追踪技术,检查结果有较好的可重复性^[6]。但应用SD-OCT监测视盘盘周RNFL厚度变化的研究报道较少,正常人群RNFL厚度亦存在生理性减少。本研究拟应用SD-OCT纵向对比2a内正常人群、POAG进展及POAG非进展人群RNFL厚度变化情况。

1 对象和方法

1.1 对象 纵向观察非干预期研究。数据源自2013-01/08于我院眼科门诊就诊并确诊的POAG患者36例36眼及24例24眼正常人。此项研究遵循赫尔辛基宣言中的伦理学标准,并经医院临床研究伦理委员会同意,所有参与者均为自愿,对检测予以认可并签署了知情同意书。所有受试者均进行了全面的眼科检查,包括视力、非接触性眼压、裂隙灯及前置镜下眼底检查、屈光度、前房角检查。

1.1.1 POAG组 患者36例若1眼符合纳入标准,即选取该眼。若双眼均符合,抽签法随机选择1眼。POAG组纳入标准:(1)最佳矫正视力≥0.5;(2)球镜-6.00D~+3.00D;(3)不影响视网膜的全身及眼部其他疾患(高血压、糖尿病、葡萄膜炎、视神经及视网膜病变、眼外伤等均不予以纳入);(4)1a内无眼部手术及眼内激光史。POAG诊断条件:(1)至少2次眼压>21mmHg(1mmHg=0.133kPa);(2)房角镜检查前房角开放;(3)青光眼性视乳头损害和/或视网膜神经纤维层缺损;(4)青光眼性视野缺损。具有(1)、(2)项与(3)或(4)方可诊断成立。根据视野及眼底照相情况进一步划分为POAG进展组及POAG非进展组。所有POAG患者治疗方案均参见《我国原发性青光眼诊断和治疗专家共识(2014年)》^[7],随访期间均为药物治疗调整,无接受手术及激光者。

1.1.2 正常对照组 选择同期眼科门诊体检正常者,抽签法随机选择1眼纳入。正常对照组纳入标准:(1)双眼最佳矫正视力≥0.5;(2)眼压≤21mmHg;(3)裂隙灯及眼底常规检查无异常、正常的视乳头形态(无视杯变大加深、无局部或弥漫性的盘沿变窄、视乳头出血及双眼垂直杯盘比相差大于0.2)、RNFL无缺损、视野无缺损。(4)无眼科及全身疾病史,无青光眼家族史,无内眼手术史。(5)球镜-6.00~+3.00D。

1.2 方法 受试者均行视盘眼底照相、Humphrey视野(中心30-2程序)及视盘OCT(Cirrus HD-OCT, Carl Zeiss Meditec, Dublin, CA)检查,各项检查间隔时间在1wk内,随访2a,每6mo一次,至少有4次可信结果。

1.2.1 眼底照相 眼底照相为对视盘20°范围照相及RNFL 45°范围无赤光照相。在患眼散瞳后,由技术熟练的同一技师采用眼底彩色照相机获取。两位青光眼专家采用双盲法独立评估2a内眼底照相结果,判断青光眼进展与否及注明判断依据。当意见不一致时,以第3位青光眼专家判断为准。眼底照相中盘沿变窄、RNFL缺损增宽加深或出现新的RNFL缺损、新的盘周出血判定为青光眼进展^[8-10]。

1.2.2 视野 采用Humphrey自动视野计,中心30-2程序。所有受试者均有2次以上视野检查经验,第一次正式检查,至少行3次检查,每次间隔至少30min,取最近一次检查的视野结果。各次视野检查均在相同条件下由同一视野师进行操作。符合以下条件认为视野结果可信:注视丢失<20%、假阳性率和假阴性率<30%;视野缺损的位置和视盘损害的位置相对应。两位青光眼专家采用双盲法独立评估2a内视野结果,判断青光眼进展情况。意见不一致时以第3位青光眼专家判断为准。视野进展标准:(1)基线暗点,范围内两个或两个以上的暗点加深10dB;(2)暗点扩大,两个或两个以上加深10dB的位点与基线暗点相连;(3)出现新的暗点,基线暗点范围内或者与基线暗点相邻的两个或更多位点出现缺损,其模式偏差概率P值1%;或者视野中心10°内之前正常的位点敏感度下降10dB。以上改变,在同一位置至少有一种改变在以后两次或3次连续随访视野结果中出现,则认为青光眼可能或极可能进展^[11]。

1.2.3 视盘OCT检查 所有受试者均进行Cirrus HD-OCT检查。扫描模式为“optic disc cube mode”,为6mm×6mm×2mm立体扫描,分析计算直径3.46mm圆周上的RNFL平均、象限及钟点厚度。信号强度≥5并无眨眼、头位等引起假阳性结果等认为结果可信。同一受试者多次检查均在录入的同一患者信息下进行。各次检查均在同一条件下由同一熟练技师操作。

统计学分析:资料分析应用SPSS 22.0统计软件。计量资料用均数±标准差描述,用独立样本t检验、单因素ANOVA(组间两两比较用LSD-t法)。MD及PSD值方差不齐,采用非参数检验Kruskal-Wallis H检验法。各组RNFL厚度变化差异比较采用单因素方差分析,组间两两比较采用LSD-t检验方法。计数资料用例数、百分数描述,采用卡方检验。RNFL厚度变化计算利用线性回归分析。各组参数相关性比较采用Pearson相关性分析。以P≤0.05为差异具有统计学意义。

2 结果

2.1 受试者基线信息 本研究共60例60眼受试者,男32例,女28例。36例POAG患者,24例正常人。平均随访2.1±0.3a。平均就诊次数5.3±0.3次。两位青光眼专家根据视野及眼底照相变化将36例POAG患者分为17例(47%)POAG进展组,19例(53%)POAG非进展组。受试者基线信息见表1。POAG进展组、POAG非进展组与正常对照组间平均偏差(mean deviation, MD)、模式标准差(pattern standard deviation, PSD)差异均有统计学意义(P<

表1 受试者基线信息

组别	眼数	性别(例)		年龄($\bar{x} \pm s$,岁)	眼别		屈光度 ($\bar{x} \pm s$, DS)	MD($\bar{x} \pm s$, dB)	PSD($\bar{x} \pm s$, dB)
		男	女		右眼	左眼			
POAG 进展组	17	10	7	61.8±5.0	10	7	-0.40±1.07	-6.85±2.49	6.36±2.53
POAG 非进展组	19	11	8	63.1±4.3	9	10	-0.25±1.48	-5.75±2.27	4.89±2.04
正常对照组	24	11	13	62.4±5.0	12	12	-0.21±1.26	-0.13±1.12	1.53±0.33
统计值		0.907		0.277	0.516		0.084	40.390	40.263
P		0.635		0.759	0.773		0.919	<0.001	<0.001

表2 受试者基线平均 RNFL 情况

组别	平均	上方		下方		鼻侧	颞侧	$(\bar{x} \pm s, \mu\text{m})$
		上方	下方	鼻侧	颞侧			
POAG 进展组	70.88±15.40	82.06±21.94	75.17±23.74	60.82±12.21	58.89±16.10			
POAG 非进展组	76.84±12.40	91.47±20.67	82.87±24.96	64.58±15.43	62.63±12.74			
正常对照组	97.04±16.04	116.25±16.03	121.79±21.27	74.83±11.59	70.54±18.57			
F	19.942	16.550	21.732	6.451	4.573			
P	<0.001	<0.001	<0.001	0.003	0.014			

表3 受试者平均 RNFL 厚度随访情况

组别	基线	随访1	随访2	随访3	随访4	ΔRNFL	
						随访1	随访2
POAG 进展组	70.88±15.40	69.83±14.85	68.49±15.80	67.09±16.46	65.96±17.12	-4.82±2.27	
POAG 非进展组	76.84±12.40	76.31±12.32	75.86±13.21	75.19±12.95	74.42±13.19	-2.21±1.32	
正常对照组	97.04±16.04	96.89±16.98	96.65±17.35	96.25±16.23	95.76±16.62	-1.29±1.71	
F	19.942	21.188	21.252	24.253	25.765	20.20	
P	<0.001	<0.001	<0.001	<0.001	<0.001	<0.001	

0.001),而 POAG 进展组与 POAG 非进展组之间 MD、PSD 之间差异有统计学意义($P \leq 0.05$)。基线平均 RNFL 厚度 POAG 进展组($70.88 \pm 15.40 \mu\text{m}$)及非进展组($76.84 \pm 12.40 \mu\text{m}$)未见明显统计学差异。而两者同正常对照组($97.04 \pm 16.04 \mu\text{m}$)差异均有统计学意义($P < 0.001$),见表2。

2.2 RNFL 厚度变化 平均 RNFL 厚度,4 次随访中 POAG 进展组及非进展组之间均未见明显统计学差异($P = 0.185, 0.123, 0.073, 0.067$),而两者同正常对照组差异均有统计学意义($P < 0.001$)。平均 RNFL 厚度变化值,POAG 进展组与 POAG 非进展组、正常对照组比较中差异均有统计学意义($t = -4.397, -6.259, P < 0.001$),而 POAG 非进展组与正常对照组之间差异无统计学意义($t = -1.681, P = 0.098$),说明 POAG 进展时 RNFL 厚度变化有统计学意义,见表3。图1 散点图提示随着基线 RNFL 厚度增加,RNFL 厚度丢失速率呈递减趋势。POAG 进展组平均 RNFL 厚度损失速率明显高于 POAG 非进展组,差异有统计学意义($2.46 \mu\text{m}/\text{a}$ vs $1.21 \mu\text{m}/\text{a}, P < 0.001$)。正常对照组为 $0.64 \mu\text{m}/\text{a}$ 。去除 RNFL 厚度生理性减少,POAG 进展时 RNFL 厚度丢失速率为 $1.82 \mu\text{m}/\text{a}$ 。

2.3 RNFL 厚度变化同视野变化值相关性分析 MD 变化值,POAG 进展组、POAG 非进展组及正常对照组分别为 $-6.11 \pm 1.41, -2.37 \pm 1.46, -1.28 \pm 1.39 \text{ dB}$,两两比较均有统计学意义($P < 0.01$)。POAG 进展组,ΔMD 值同 Δ 平均 RNFL 厚度变化相关性差($r = 0.135, P = 0.582$),同 Δ 下方 RNFL 厚度相关性最佳($r = 0.423, P = 0.032$)。

3 讨论

SD-OCT 检查结果有较好的准确性及可重复性,已成为功能强大的青光眼诊断和随访工具,已被许多研究证实其对早期青光眼的诊断价值^[12]。但其在青光眼随访中临床研究报告相对较少。临幊上 POAG 患者随访中出现视

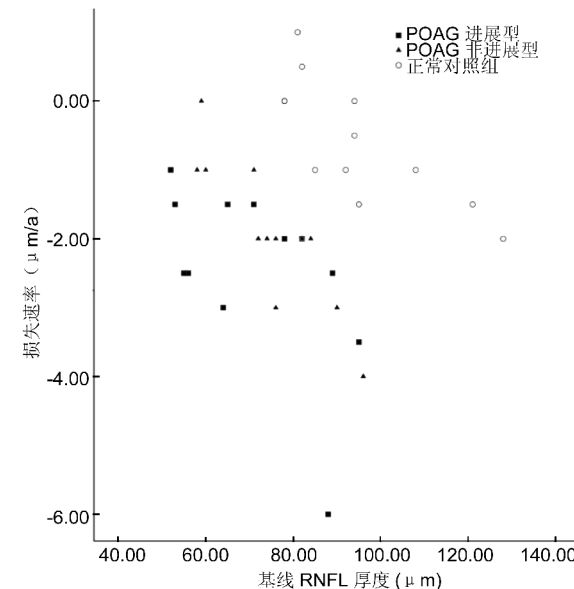


图1 三组基线 RNFL 厚度和 RNFL 变化速率散点图。

盘周 RNFL 厚度降低,常无法准确判断其为病情进展、操作误差或是其生理性 RNFL 厚度丢失,缺少相关参数范围参考判断。本研究设正常人群为对照组,利用眼底照相及视野作为 POAG 病情进展判断标准,分析对比正常人群、POAG 进展及非进展人群盘周 RNFL 厚度变化情况。

3.1 RNFL 厚度变化 本研究中,平均 RNFL 厚度变化值,POAG 进展组与 POAG 非进展组、正常对照组比较中差异均有统计学意义($t = -4.281, -5.692, P < 0.001$),而 POAG 非进展组与正常对照组之间差异无统计学意义($t = -1.934, P = 0.060$),说明 POAG 进展时 RNFL 厚度变化有统计学意义,提示 RNFL 厚度改变可作为 POAG 随访中一个参考指标。

平均RNFL厚度损失速率方面,POAG进展组明显高于POAG非进展组,差异有统计学意义($2.46\mu\text{m}/\text{a}$ vs $1.21\mu\text{m}/\text{a}, P<0.001$)。正常对照组为 $0.64\mu\text{m}/\text{a}$ 。去除RNFL厚度生理性减少,本研究中POAG进展时RNFL厚度丢失速率为 $1.82\mu\text{m}/\text{a}$ 。其数值较Felipe等报道的 $0.72\mu\text{m}/\text{a}$ 偏高^[13]。Leung等^[14]报道青光眼进展RNFL厚度损失速率每年 $1.2\sim15.4$ (平均为 $3.3\mu\text{m}$)。Lee等^[15]以眼底照相为青光眼进展判断标准,采用频域OCT监测,报道青光眼进展者为 $1.5\mu\text{m}/\text{a}$,而非进展者为 $0.34\mu\text{m}/\text{a}$ 。Julia等报道^[16]青光眼进展者损失速率为 $2.12\mu\text{m}/\text{a}$ 。本研究RNFL厚度损伤速率同其较接近。Dilraj等报道平均及峰值眼压同RNFL厚度损失速率有较强相关性^[17]。同时,RNFL厚度存在生理性丢失,研究表明生理性RNFL厚度丢失量同基线RNFL厚度呈正相关^[18]。所以视盘盘周RNFL厚度丢失速率存在个体化现象,同正常生理性丢失范围存在重叠,临幊上仅单独依据视盘盘周RNFL厚度丢失速率早期判断POAG进展仍有一定困难。推测如进行更多基线信息收集,将基线眼压、基线RNFL厚度等因素均列为自变量,如能进行线性回归分析,是否有助于在兼顾个体化同时,更精确判断RNFL厚度变化意义。这同时尚需更多的样本信息采集。在进行POAG早期病情进展时,最好联合其他辅助检查共同判断,很可能RNFL厚度的改变较其他检查具有一定的提前性和假阳性,这尚需要大样本更长时间的随访判断。Tammy等研究证实OCT测量RNFL能在出现视野阳性改变之前监测出青光眼损害^[19]。总之,POAG进展时RNFL厚度丢失速率高于正常,可联合其他辅助检查判断POAG进展,尤其注意POAG病情早期进展的可能。

3.2 RNFL厚度变化同视野变化值相关性 本研究中,POAG进展组, ΔMD 值同 Δ 平均RNFL厚度变化相关性差($r=0.135, P=0.582$),同 Δ 下方RNFL厚度相关性最佳($r=0.423, P=0.032$)。下方RNFL厚度变化同视野MD损害进展相关性较好,符合既往的研究结论^[20-21]。下方RNFL参数不仅在早期诊断中意义较大,对监测病变进展的诊断价值也较大。但值得注意的是,本研究中MD变化值,POAG非进展组及正常对照组比较有统计学意义($P=0.016$),而平均RNFL厚度变化值,POAG非进展组与正常对照组之间($1.21\mu\text{m}/\text{a}$ vs $0.64\mu\text{m}/\text{a}$)差异并无统计学意义($P=0.098$)。若假设POAG非进展组同正常对照组相比较,已出现功能性数值改变提示,虽然眼底照相及视野未见阳性变化,但RNFL厚度变化并不明显。这同RNFL厚度改变先于视野改变的观念并不一致。考虑可能同患者视野处于中期,RNFL较早期不敏感相关。

3.3 本研究局限及不足 该研究样本量偏小,随访时间短,尚需更大样本较长时间临床观察以获得更详实可靠的临床信息。同时,本研究POAG患者多在轻中度视野损害范围内,其结果有一定的局限性。

综上所述,本研究提示POAG进展时RNFL厚度丢失速率($1.82\mu\text{m}/\text{a}$)高于正常生理丢失量($0.64\mu\text{m}/\text{a}$),可联合其他辅助检查共同判断POAG病情进展,尤其注意POAG的早期进展可能。下方RNFL厚度变化同视野MD损害进展相关性较好。

参考文献

1 Kass MA, Heuer DK, Higginbotham EJ, et al. The ocular hypertension treatment study: a randomized trial determines that topical

- ocular hypotensive medication delays or prevents the onset of primary open-angle glaucoma. *Arch Ophthalmol* 2002;120(6):701-713
- 2 Burgansky-Eliash Z, Wollstein G, Chu T, et al. Optical coherence tomography machine learning classifiers for glaucoma detection: a preliminary study. *Invest Ophthalmol Vis Sci* 2005;46(11):4147-4152
- 3 Lalezary M, Medeiros FA, Weinreb RN, et al. Baseline optical coherence tomography predicts the development of glaucomatous change in glaucoma suspects. *Am J Ophthalmol* 2006;142(4):576-582
- 4 Leung CK, Chan WM, Yung WH, et al. Comparison of macular and peripapillary measurements for the detection of glaucoma: an optical coherence tomography study. *Ophthalmology* 2005;112(3):391-400
- 5 Manassakorn A, Nouri-Mahdavi K, Caprioli J. Comparison of retinal nerve fiber layer thickness and optic disk algorithms with optical coherence tomography to detect glaucoma. *Am J Ophthalmol* 2006;141(1):105-115
- 6 Wadhwani M, Bali SJ, Satyapal R, et al. Test-retest variability of retinal nerve fiber layer thickness and macular ganglion cell-inner plexiform layer thickness measurements using spectral-domain optical coherence tomography. *J Glaucoma* 2015;24(5):109-115
- 7 中华医学会眼科学分会青光眼组. 我国原发性青光眼诊断和治疗专家共识(2014年). 中华眼科杂志 2014;50(5):382-383
- 8 Drance S, Anderson DR, Schulzer M, et al. Risk factors for progression of visual field abnormalities in normal-tension glaucoma. *Am J Ophthalmol* 2001;131(6):699-708
- 9 Nitta K. Disc hemorrhage is a sign of progression in normal tension glaucoma. *J Glaucoma* 2012;21(4):276
- 10 Sung KR. Disc hemorrhage: is that a risk factor or sign of progression? *J Glaucoma* 2012;21(4):275-276
- 11 Asman P, Wild JM, Heijl A. Appearance of the pattern deviation map as a function of change in area of localized field loss. *Invest Ophthalmol Vis Sci* 2004;45(9):3099-3106
- 12 王晓贞,李树宁,吴葛玮,等. 频域OCT检测视乳头形态及视网膜神经纤维层厚度在青光眼诊断中的作用. 中华眼科杂志 2010;46(8):702-708
- 13 Medeiros FA, Zangwill LM, Alencar LM, et al. Detection of glaucoma progression with stratus OCT retinal nerve fiber layer, optic nerve head, and macular thickness measurements. *Invest Ophthalmol Vis Sci* 2009;50(12):5741-5748
- 14 Leung CK, Cheung CY, Weinreb RN, et al. Evaluation of retinal nerve fiber layer progression in glaucoma: a study on optical coherence tomography guided progression analysis. *Invest Ophthalmol Vis Sci* 2010;51(1):217-222
- 15 Lee EJ, Kim TW, Weinreb RN. Trend-based analysis of retinal nerve fiber layer thickness measured by optical coherence tomography in eyes with localized nerve fiber layer defects. *Invest Ophthalmol Vis Sci* 2011;52(2):1138-1144
- 16 Wessel JM, Horn FK, Tornow RP, et al. Longitudinal analysis of progression in glaucoma using spectral-domain optical coherence tomography. *Invest Ophthalmol Vis Sci* 2013;54(5):3613-3620
- 17 Grewal DS, Sehi M, Paauw JD. Detection of progressive retinal nerve fiber layer thickness loss with optical coherence tomography using 4 criteria for functional progression. *J Glaucoma* 2012;21(4):214-220
- 18 Leung CK, Yu M, Weinreb RN, et al. Retinal nerve fiber layer imaging with spectral-domain optical coherence tomography: a prospective analysis of age-related loss. *Ophthalmology* 2012;119(4):731-737
- 19 Kuang TM, Zhang CW, Zanguill LM, et al. Estimating Lead Time Gained by Optical Coherence Tomography in Detecting Glaucoma before Development of Visual Field Defects. *Ophthalmology* 2015;122(10):2002-2009
- 20 Na JH, Sung KR, Baek S, et al. Detection of glaucoma progression by assessment of segmented macular thickness data obtained using spectral domain optical coherence tomography. *Invest Ophthalmol Vis Sci* 2012;53(7):3617-3827
- 21 Leung CK, Chiu V, Weinreb RN, et al. Evaluation of retinal nerve fiber layer progression in glaucoma: a comparison between spectral-domain and time-domain optical coherence tomography. *Ophthalmology* 2011;118(8):1558-1562